

ارزیابی آسیب‌پذیری آب زیرزمینی دشت‌های بازرگان و پلدشت با استفاده از مدل دراستیک بر اساس GIS

چکیده

دشت‌های بازرگان و پلدشت در شمال غرب ایران و شمال استان آذربایجان غربی قرار دارند. مهم‌ترین منابع آب موجود در دشت‌های بازرگان و پلدشت را آب زیرزمینی تشکیل می‌دهد. در این تحقیق با توجه به ویژگی‌های هیدرولوژی و هیدروژئولوژی منطقه مورد مطالعه، آسیب‌پذیری آبخوان در برابر عوامل آلاینده پنهان‌بندی شده است. برای این منظور از مدل دراستیک و سیستم اطلاعات جغرافیایی برای پردازش و تجزیه و تحلیل کیفی آبخوان استفاده شده است. در مدل دراستیک از مشخصه‌های مؤثر در ارزیابی آسیب‌پذیری سفره آب زیرزمینی شامل عمق سطح ایستایی، تعذیه، جنس سفره، نوع خاک، شیب توپوگرافی، مواد تشکیل‌دهنده منطقه غیرآشایع و هدایت هیدرولیکی استفاده می‌شود که به صورت هفت لایه در نرم‌افزار Arc View تهیه شدند و با وزن دهنده و رتبه‌بندی و تلفیق هفت لایه فوق، نقشه نهایی آسیب‌پذیری آبخوان نسبت به آلدگی، با تقسیم‌بندی به سه محدوده آسیب‌پذیری کم، متوسط و زیاد تهیه و شاخص دراستیک برای کل منطقه بین ۷۱ تا ۱۷۵ برآورد شد. برای صحبت‌سنگی نقشه نهایی آسیب‌پذیری از یون فلورورید بالا هستند، در محدوده با نیروی آلدگی زیاد قرار گرفته‌اند که این می‌تواند دقت و صحبت مدل مشخص شد که کلیه نقاطی که دارای فلورورید بالا هستند، در محدوده با نیروی آلدگی زیاد قرار گرفته‌اند که این می‌تواند دقت و صحبت مدل را مورد تأیید قرار دهد. از نظر وسعت می‌توان گفت که حدود ۳ درصد از منطقه مورد مطالعه در محدوده آسیب‌پذیری کم، ۳۷ درصد متوسط و ۶۰ درصد در محدوده آسیب‌پذیری زیاد قرار می‌گیرد که قسمت‌های وسیعی از شرق، غرب و بخشی از مرکز را شامل می‌شود. با توجه به حجم زیاد منابع آب زیرزمینی در منطقه مورد مطالعه و استفاده از آن در شرب، کشاورزی و پرورش آبیان، حفاظت این مناطق به منظور جلوگیری از آلدگی و مدیریت بهینه منابع آب ضروری است.

کلید واژه

دشت‌های بازرگان و پلدشت، آسیب‌پذیری آب زیرزمینی، مدل دراستیک، سیستم اطلاعات جغرافیایی

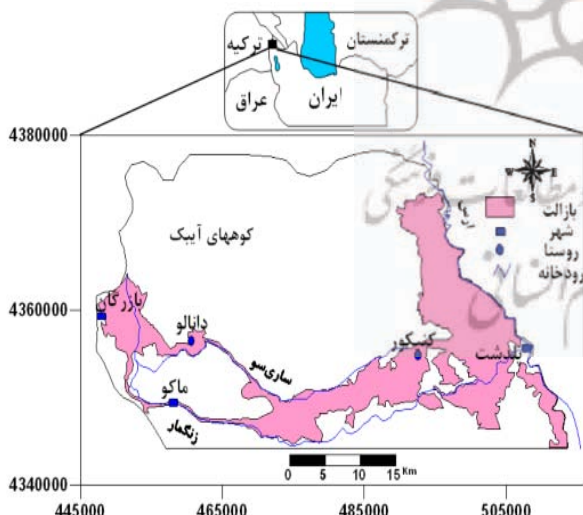
سرآغاز

محیط آسیب‌پذیری را به وجود آورده، به طوری که آب زیرزمینی را به عنوان منبعی طبیعی در معرض آلاینده‌های صنعتی و کشاورزی در داده‌اند (Thapinta, and Hudak, 2003). مفهوم توانایی آسیب‌پذیری آبهای زیرزمینی اولین بار در اوخر دهه ۱۹۶۰ در فرانسه جهت هشدار درباره آلدگی آب ارائه شد (Vrba & Zaporozec, 1994). آسیب‌پذیری آبخوان، نیروی آن را برای نفوذ و پخش آلاینده‌ها از سطح زمین به سیستم آب زیرزمینی نشان می‌دهد، به طوری که آلدگی تولید شده در سطح زمین بتواند به آب زیرزمینی برسد و در آن پراکنده شود

سفرهای آب زیرزمینی یکی از مهم‌ترین منابع آبی هر کشور است که متأسفانه بی‌توجهی به آن باعث نشر و انتقال آلاینده‌های مختلف به این منابع شده است. عدم شناخت صحیح، و یا عدم درک میزان آسیب‌پذیری سریع آبهای زیرزمینی ممکن است سبب ایجاد آلدگی‌های شدید در این منابع شود و چه بسا اتفاق می‌افتد که دیگر نتوان از این منابع با ارزش استفاده کرد و برای رفع آلدگی و مصرف مجدد، باید وقت و هزینه زیادی صرف شود. فعالیت‌های انسانی اخیر

رودخانه دائمی زنگمار، ساری‌سو و ارس جریانات سطحی و آب چشمه‌های منطقه را زهکشی می‌کنند (شکل شماره ۱). آب زیرزمینی در منطقه از طریق درز و شکاف‌های موجود در بازالتها و از آبرفت‌های بسیار نفوذپذیر موجود در زیر بازالتها جریان می‌یابد (اصغری مقدم و همکاران، ۱۳۸۴). بنابراین تغذیه از طریق درز و شکاف‌های موجود در بازالتها و آهک‌ها صورت می‌گیرد. بازالتها و آهک‌ها عموماً بدون پوشش خاک بوده، و یا این‌که از خاک سطحی بسیار کم ضخامت برخوردارند و سطح آب زیرزمینی نزدیک به سطح زمین است، بنابراین آسیب‌پذیری منابع آب زیرزمینی خیلی زیاد است و اگر هر نوع آلاینده‌ای در مسیر جریان آب قرار بگیرد، یا وارد آب زیرزمینی شود با فاصله زمانی کم و بدون کاهش غلظت از چشمه‌ها و چاههای منطقه بیرون خواهد آمد. علاوه بر این، در منابع آبی منطقه مورد مطالعه آلوگی فلورئورید وجود دارد که اخیراً مطالعاتی در خصوص منشاء و توزیع آن در منطقه صورت گرفته است (اصغری مقدم و فیجانی، ۱۳۸۶؛ Asghari Moghaddam & Fijani, 2008).

کل آب شرب شهرستان پلدشت، اکثر روستاهای منطقه و قسمتی از آب شهرستان‌های ماکو و بازرگان از آب زیرزمینی موجود در گدازه‌های بازالتی تأمین می‌شود (اصغری مقدم و همکاران، ۱۳۸۶).



شکل شماره (۱): موقعیت منطقه مورد مطالعه

منطقه مورد مطالعه از نظر توپوگرافی از مناطق کوهستانی و پست پوشیده از بازالت تشکیل یافته است. شیب مناطق بازالتی کم و در نتیجه سطح آب زیرزمینی فوق العاده بالاست. چشمه‌های موجود در بازالت‌ها نیز در مکان‌های متعددی تخلیه و در سطح وسیعی پخش می‌شوند. در فصول پر آبی بسیاری از پستی‌های محلی موجود در بازالت‌ها با آب پوشیده شده است.

(Worrall, and Besien, 2004; Babiker, et al., 2005) آسیب‌پذیری نوعی خصوصیت نسبی، بدون بعد و غیرقابل اندازه‌گیری است و به ویژگی‌های آبخوان، محیط زمین‌شناسی و هیدروژئولوژی مستگی دارد (Antonakos, and Lambrakis, 2007). ارزیابی آسیب‌پذیری آههای زیرزمینی به روش‌های مختلفی صورت می‌گیرد (Vrba, and Zoporoze, 1994).

در تمامی روش‌ها آسیب‌پذیری آبخوان براساس انتقال آلوگی از سطح زمین به لایه آبدار برآورد شده است. یکی از روش‌های متداول برای ارزیابی آسیب‌پذیری ذاتی آبخوان، روش دراستیک^۱ است که کاربرد زیادی داشته است. این روش در مناطق مختلف دنیا نظیر کره جنوبی (Kim, and Hamm, 1999)، امارات متحده عربی (Samey, and Rahman, 2007)، هند (میرزاپور، Gang, 2008) و ایران (میرزاپور، Zabet, 2002) استفاده شده است. در این تحقیق برای بررسی آسیب‌پذیری آب زیرزمینی منطقه از مدل دراستیک و برای تهیه نقشه از محیط GIS استفاده شده است. هدف از این مطالعه، تهیه نقشه آسیب‌پذیری و تعیین مناطقی با نیروی بالای آلوگی آب زیرزمینی در منطقه مورد مطالعه است. با توجه به اهمیت منابع آب زیرزمینی در منطقه مورد مطالعه که برای مقاصد مختلف شرب، کشاورزی و صنعتی مورد استفاده قرار می‌گیرد، مطالعه آسیب‌پذیری آبخوان، بخصوص مناطق بازالتی به علت وجود جریان مجرایی و حفاظت این مناطق برای توسعه و مدیریت بهینه منابع آب ضروری به نظر می‌رسد.

مواد و روش‌ها

منطقه مورد مطالعه

منطقه مورد مطالعه در شمال غرب کشور و شمال استان آذربایجان غربی قرار گرفته است که از غرب به کشور ترکیه و از شرق به رود ارس محدود می‌شود. مساحت کل منطقه ۱۶۰۰ کیلومتر مربع است که بیش از ۳۸۰ کیلومتر مربع آن توسط گدازه‌های بازالتی پوشیده شده است. شهرهای ماکو، پلدشت و بازرگان از شهرهای مهم منطقه است که ارتباط آنها از طریق جاده‌های درجه یک برقرار است. شکل شماره (۱) موقعیت جغرافیایی منطقه مورد مطالعه را نشان می‌دهد. براساس طبقه‌بندی آمیرژه، این منطقه جزء مناطق سرد و خشک محسوب شده و متوسط بارندگی سالانه آن ۳۰۰ میلیمتر است. میانگین تبخیر ماهانه از تشتک برای یک دوره ۱۰ میلیمتر است. ایستگاه پلدشت ۱۷۱۷ میلیمتر و از ایستگاه ماکو-بازرگان ۱۳۰۰ میلیمتر به دست آمده است. سه

صحرایی، برونزدهای بازالتی بعد از این منطقه نیز در طول مسیر این رودخانه تا رسیدن مجدد به بازالت‌های مسیر زنگمار در نقاط زیادی قابل مشاهده است و احتمالاً بیشترین گدازه‌های بازالتی از طریق این مسیر به پایین دست منطقه جریان یافته است. مسیلی که از منطقه آdagان وارد رودخانه ساری سو می‌شود در بالا دست با عبور از سازندهای مارنی و رسوبات دانه‌ریز آبرفت‌های زیادی را وارد مسیر رودخانه می‌کند که در نتیجه روی بازالت‌های این قسمت از مسیر رودخانه در بیشتر مناطق با رسوبات آبرفتی کم خاصمتی پوشیده شده است. علاوه بر این، بررسی کیفیت منابع آب دشت پلدشت، جریان آب زیرزمینی را به این دشت از طریق بازالت‌ها مسیر رودخانه ساری سو تأیید می‌کند، بنابراین لازم است که برای نشان دادن مسیر جریان گدازه‌ها، سنگ‌های بازالتی این قسمت نیز در نقشه زمین‌شناسی منطقه نشان داده شوند (صغری مقدم و همکاران، ۱۳۸۷). مناطق مرتفع ناحیه جنوبی نیز بیشتر با سازندهای آهکی، دولومیتی، شیلی و شیستی و تشکیلات قم پوشیده شده است. از نظر هیدرولوژیکی در منطقه مورد مطالعه علاوه بر سازندهای شیلی و مارنی و کنگلومرا که با وسعت کمی در منطقه دیده می‌شوند، دو نوع سازند سخت مهم وجود دارد: گدازه‌های بازالتی که بیشتر زمین‌های پست و مسیر رودخانه‌های قدیمی را می‌پوشانند و دیگری آهک‌های سازند قم و آهک‌های توده‌ای و دولومیت‌های سازند روته که در بعضی مناطق بازالت‌ها را احاطه کرده‌اند. شایان ذکر است که سازندهای آبدار منطقه را بیشتر بازالت‌های کواترنری، آهک پرمین و سازند قم (رخساره آهکی آن) تشکیل می‌دهند. آهک‌های مجاور بازالت‌ها، بویژه آهک‌های سازند روته بشدت کارستی شده و از نفوذپذیری بسیار بالایی برخوردارند، به طوری که در پشت تپه‌های شمال شرق کنیکور (۱۲ کیلومتری غرب شهرستان پلدشت) چشمۀ پرآب کلوس بلاغی با آبدی بیش از ۶۰ لیتر بر ثانیه وجود دارد، همچنین در ۵ کیلومتری شمال شرق شهرستان بازرگان در نزدیکی روستای یاریم قیه آهک‌های پرمین و الیکوسن در نزدیکی مرز بازالت‌ها بشدت کارستی شده و تشکیل غار داده‌اند. براساس مطالعات ژئوکتریکی انجام گرفته در دشت بازرگان، بیشترین عمق سنگ کف ۱۵۰ متر تخمین زده شده است. در دو حلقه چاه آب شرب حفر شده در این دشت، خاصمت بازالت بیش از ۵۴ متر گزارش شده است. در دشت پلدشت بیشترین خاصمت بازالت‌ها حدود ۴۰ متر و خاصمت آبرفت قرار گرفته در زیر بازالت‌ها نیز در بعضی نقاط بیش از ۱۰۰ متر گزارش شده است. رسوبات آبرفتی زیر بازالت‌ها از نفوذپذیری بسیار خوبی برخوردارند. تخلخل و هدایت هیدرولیکی

مناطق مورد استفاده از آبهای خروجی از چشمۀ‌ها در مسافت نسبتاً دوری قرار گرفته‌اند و آب در کanal‌های روباز دهها کیلومتر جریان پیدا می‌کند تا به محل مصرف برسد. در برخی نواحی از جمله منطقه کنیکور و بازرگان آب زیرزمینی به صورت تراووش در سطح ظاهر شده و احیاناً بالاتلاق‌هایی را تشکیل می‌دهد. این وضعیت باعث تغییر شدید آب زیرزمینی و به هدر رفتن آن و تنزل کیفیت آب منطقه می‌شود (صغری مقدم و همکاران، ۱۳۸۴).

زمین‌شناسی و هیدرولوژی منطقه مورد مطالعه

منطقه مورد مطالعه بخشی از ورقۀ زمین‌شناسی ماکو به مقیاس ۱:۲۵۰۰۰ در زون زمین‌ساختی البرز-آذربایجان است. بازالت‌های کواترنر که بر روی انباشته‌های قرمز فوکانی و کنگلومرا پلیوسن-کواترنر جریان یافته و مناطق پست و کم ارتفاع را پوشانده، در منطقه گسترش زیادی دارند (Alavi Naini, Bolurchi, 1973).

این بازالت‌ها بخشی از گدازه‌های حاصل از فوران آتش‌شانی کوههای آرارات است (Yilmaz, et al., 1998) که گستردۀ‌ترین سازند در ورقۀ ماکو را تشکیل داده‌اند. شکل شماره (۱) موقعیت بازالت‌ها و مسیرهای جریان آن به دشت پلدشت را نشان می‌دهد. همان‌طورکه در شکل مشاهده می‌شود کوههای بلند آیک (شمال شرق بازرگان و روستای دانالو) با ارتفاع بیش از ۲۰۰۰ متر با روند شمال‌غربی - جنوب‌شرقی، هم امتداد با آرارات بزرگ و کوچک، ورقۀ ماکو را به نواحی شمالی شامل بورالان - شوطلو - پلدشت و جنوبی شامل بازرگان - ماکو - پلدشت تقسیم کرده است. در پایین دست این کوهها بازالت‌ها از طریق مسیر رودخانه‌های ساری سو و زنگمار جریان یافته‌اند و مناطق مرتفع این ناحیه به وسیله سازندهای آهکی، دولومیتی، شیلی و شیستی پوشیده شده است. در ناحیه جنوبی دو افتادگی اساسی وجود دارد که یکی از آنها مسیر ساری سو و دیگری مسیر زنگمار را تشکیل می‌دهد. این دو مسیر در شمال ماکو توسط کوه مرتفع قیداغ کاملاً از هم جدا شده‌اند ولی در قسمت‌های بالایی و پایین دست مناطق مرتفع برجسته‌ای بین این دو مسیر وجود ندارد. بنابراین جریان گدازه که از مسیر ساری سو وارد دشت بازرگان می‌شود بخشی از آن از جنوب‌شرق بازرگان (از روستاهای میلان و سنگر) وارد دره ماکو شده و از طریق مسیر زنگمار و قسمتی نیز از مسیر ساری سو تا پلدشت و شمال‌غرب پلدشت ادامه یافته است. سازمان زمین‌شناسی ایران در نقشه زمین‌شناسی ۱:۲۵۰۰۰ منطقه جریان گدازه در مسیر ساری سو (مسیر اصلی گدازه‌های بازالتی) را فقط تا روستاهای تخته دوز و دانالو (شمال ماکو) ادامه داده است، حال آن‌که طبق مشاهدات

(Evans, and Mayers, 1990; Al-^۱ هیدروژئولوژیکی برآورد می‌شود- Adamat, et al., 2003; Babiker, et al., 2005) شامل عمق آب زیرزمینی^۲، تغذیه^۳، محیط آبخوان^۴، محیط خاک^۵، توپوگرافی، یا شیب سطح زمین^۶، مواد تشکیل دهنده زون غیرابشار^۷ و هدایت هیدرولیکی^۸ هستند. این عوامل به صورت عددی برآورد می‌شوند، به طوری که به هر کدام از آنها با توجه به پتانسیل آلودگی آن، نرخی^۹ از ۱ تا ۱۰ اختصاص داده شده است (۱ به معنای کمترین و ۱۰ بیشترین خطر برای آلودگی آب زیرزمینی). هریک از این مشخصه‌ها با توجه به اهمیت نسبی آن در توانایی انتقال آلودگی به سیستم آب زیرزمینی در ضریب وزنی^{۱۰} ضرب شده که براساس معیار کیفی، نه کمی، (از ۱ تا ۵) متغیر براساس قضاؤت نویسنده تعیین می‌شود (Panagopoulos, et al., 2006). روش دراستیک از بیشترین مشخصه‌های مؤثر در آسیب‌پذیری استفاده می‌کند و به همین علت اثر عدم قطعیت‌های احتمالی در مشخصه‌ها را کاهش می‌دهد. ضرایب در این روش با توجه به ویژگی‌های منطقه مورد مطالعه می‌توانند تغییر یابند. جدول شماره (۱) این عوامل و ضرایب وزنی اصلی و تغییریافته آنها را با در نظر گرفتن شرایط منطقه نشان می‌دهد (فیجانی، ۱۳۸۶).

با زالت‌ها به ترتیب ۱۰ تا ۱۵ درصد و 10^{-9} تا 10^{-2} متر بر ثانیه برآورد شده است. این آبخوان بیشتر از نوع آزاد بوده و ضریب توانایی انتقال آن از داده‌های آزمایش افت پله‌ای برای ۳۴ حلقه چاه بهره‌برداری به روش ژاکوب به طور متوسط ۱۱۶ متر بر روز (مینیمم ۲۲ و ماکزیمم ۱۰۶) به دست آمده است، (Asghari moghaddam & Fijani 2009).

روش‌شناسی

ساده‌ترین و رایج‌ترین روش برای برآورد آسیب‌پذیری آب زیرزمینی نسبت به آلودگی، استفاده از مدل‌های وزن‌دهی است. در این روش‌ها مشخصه‌ها بر اساس تأثیری که بر آلودگی آب زیرزمینی دارند، امتیازدهی می‌شوند (LeGrand, 1964). محصول تکامل‌یافته این روش‌ها، مدل‌های PCSM^{۱۱} هستند، در این مدل‌ها علاوه بر طبقه‌بندی مشخصه‌های مختلف، ضرایب وزنی نسبی برای هر عامل تعیین می‌شود (Panagopoulos, et al., 2006). متدالول ترین روش PCSM برای ارزیابی آسیب‌پذیری ذاتی آبخوان، روش دراستیک است که توسط انجمن ملی آب زیرزمینی با همکاری آژانس حفاظت محیطی ایالات متحده ایجاد شده است (Aller, et al., 1987). در این روش هفت عامل، یا مشخصه قابل اندازه‌گیری برای سیستم

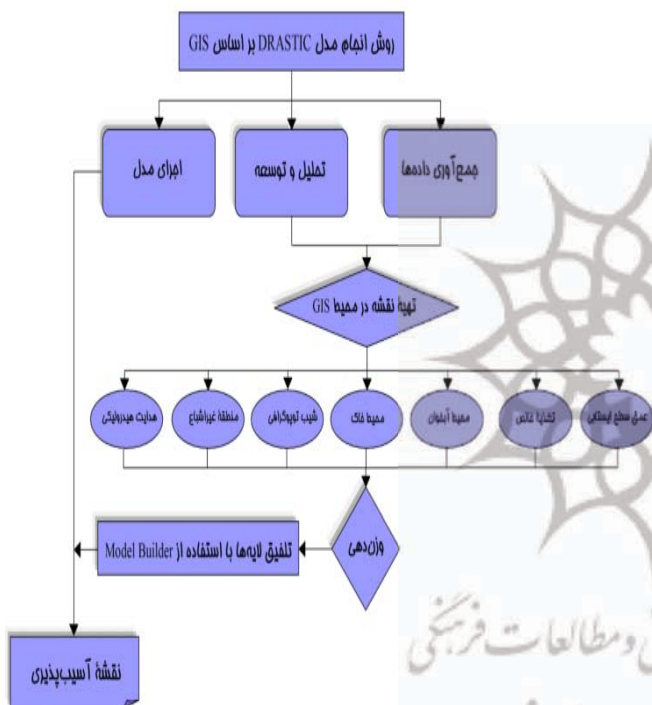
جدول شماره (۱): عوامل دراستیک و ضرایب وزنی اصلی و تغییریافته آنها

وزن‌های تغییریافته دراستیک با توجه به شرایط منطقه	وزن‌های اصلی دراستیک	عوامل دراستیک	
۵	۵	عمق آب زیرزمینی	D
۳	۴	تغذیه	R
۳	۳	محیط آبخوان	A
۲	۲	محیط خاک	S
۲	۱	توپوگرافی	T
۳	۵	تأثیر محیط وادوز	I
۴	۳	هدایت هیدرولیکی	C

از محیط GIS استفاده کرد. در محیط GIS امکان تلفیق مجموعه داده‌های مختلف برآورد شده با استفاده از روش فوق وجود دارد. مدل دراستیک ابتدا برای استفاده در سیستم اطلاعات جغرافیایی طراحی نشده بود، اما تحقیقات نشان دادند که چنین اجرایی از این مدل مزایای بسیاری دارد (Merchant, 1994). با استفاده از امکانات تحلیل فضایی که در GIS قابل دسترسی است، لایه‌های اطلاعاتی براساس هفت

هدف مطالعات آسیب‌پذیری آب زیرزمینی، تهیه نقشه و تعیین مناطقی با نیروی بالای آسیب‌پذیری است. استفاده از روش مناسب برای تهیه نقشه پهنه‌بندی آسیب‌پذیری در یک منطقه بستگی به وجود داده‌ها و توزیع آنها، موقعیت هیدرولوژی و مقیاس و هدف نقشه دارد. برای تهیه نقشه پهنه‌بندی آسیب‌پذیری آبخوان می‌توان

گرفت که از آن جمله می‌توان توابع آنالیز توپولوژیکی مانند بریدن^{۱۳}، ادغام کردن^{۱۴}، بر هم نهی^{۱۵} و توابع تحلیلی سطوح مانند استخراج شبیه از مدل ارتقایی رقومی^{۱۶} را نام برد. از تبدیلهای انجام گرفته می‌توان به تبدیل نقطه به ناحیه که شامل درون‌یابی کریجینگ^{۱۷} (یکی از ساده‌ترین روش‌های تخمین مکانی که با توجه به نحوه توزیع مکانی متغیر مورد نظر به تخمین مقادیر مجهول در موقعیت‌های مکانی مطلوب و معلوم می‌پردازد) و تبدیل بردار به رستر است، اشاره کرد.



شکل شماره (۲): روش مدل‌سازی دراستیک بر اساس GIS

عمق آب زیرزمینی

عمق آب زیرزمینی یکی از عوامل مهم در کنترل توانایی آلاینده برای رسیدن به آبخوان است. این مشخصه به دلیل تعیین ضخامت موادی که آب نفوذی باید قبل از رسیدن به آبخوان آن را طی کند، اهمیت دارد. عمق کم آب زیرزمینی باعث می‌شود آلاینده‌ها سریع‌تر به سیستم آب زیرزمینی راه یابند. زمان عبور آب و در نتیجه احتمال از بین رفتن آلودگی با عمق سطح ایستابی در سطوح عمیق‌تر افزایش می‌یابد. برای تهیه این لایه، ابتدا موقعیت و عمق سطح ایستابی چاههای موجود در منطقه به محیط اکسل وارد و سپس به فرمت قابل قبول برای نرم‌افزار ArcView تبدیل شد. به منظور ایجاد این لایه به حالت

مؤلفه دراستیک ایجاد می‌شوند. وقتی مقادیر دراستیک از طریق GIS نشان داده شوند، رابطه فضایی بین اجرای مدیریت اراضی و آسیب‌پذیری آب زیرزمینی مشخص می‌شود (Soper, 2006). در این تحقیق نیز، برای بررسی آسیب‌پذیری آب زیرزمینی در منطقه و تهیه نقشه از محیط GIS استفاده شده است. برای اجرای مدل دراستیک بر اساس GIS نرم‌افزار ArcView-GIS استفاده شده است. نیز برای دراستیک ایجاد نرم‌افزار ArcView-GIS برخورداری آن از برنامه‌های مکمل^{۱۸} برای کاربرد پیشرفته است که امکانات تخصصی مورد نیاز را به نرم‌افزار می‌افزایند (مطیعی، ۱۳۸۲). از جمله این برنامه‌ها که در این تحقیق نیز به کار رفته‌اند، می‌توان به Spatial Analyst برای تحلیل‌های مکانی، Geoprocessing برای ویرایش داده‌های مکانی و Model Builder به منظور فراهم‌سازی محیطی جهت ساخت انواع مدل‌ها با توانایی‌های ویژه اشاره کرد.

اجرای مدل دراستیک بر اساس GIS

برای اجرای این مدل ابتدا اطلاعات هیدرولوژی لازم در ارتباط با هفت مؤلفه دراستیک جمع‌آوری می‌شوند. بر اساس اطلاعات به دست آمده، مدل مذکور برای قسمتی از منطقه مطالعاتی که از داده‌های بهنسبت مناسبی برخوردار بود، اجرا شد. داده‌های جمع‌آوری شده وارد محیط GIS شده و با توجه به موقعیت مکانی آنها برروی نقشه منطقه عملی می‌شوند.

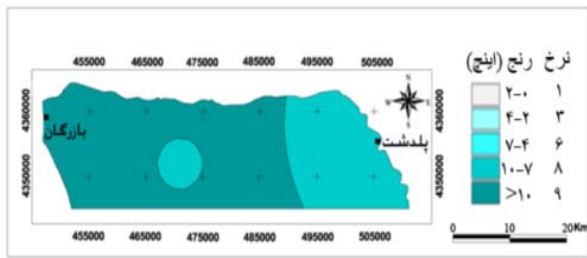
با توجه به نرخ‌های هر یک از مشخصه‌ها نقشه‌ی پنهان‌بندی هر کدام از آنها به دست می‌آید. نقشه‌های تهیه شده با استفاده از برنامه جانی Model Builder در نرم‌افزار ArcView-GIS با وزن‌دهی و رتبه‌بندی تلفیق شده و نقشه نهایی به دست می‌آید. شکل شماره (۲) این فرایند مدل‌سازی را به صورت گرافیکی نشان می‌دهد.

بحث و بررسی

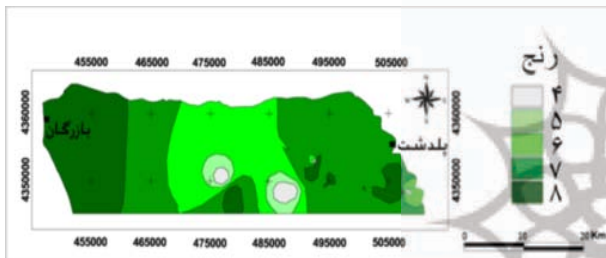
به منظور اجرای این مدل دراستیک براساس GIS برای ارزیابی نیروی آلودگی آب زیرزمینی در منطقه، مراحل آماده‌سازی نقشه‌ها، وزن‌دهی و تلفیق اعمال شده است. داده‌های مورد نیاز برای تهیه مشخصه‌های دراستیک از منابع مختلف و با فرمتهای گوناگون جمع‌آوری شده است. پایگاه اطلاعاتی برای داده‌های با فرمت نقطه‌ای ابتدا در محیط نرم‌افزار اکسل تهیه شده، سپس به محیط GIS آورده شد.

تمامی داده‌ها به سیستم تصویر درآمدند. همچنین توابع تحلیلی مکانی مختلفی بر روی داده‌ها برای تبدیل آنها به نقشه صورت

اشیاع) و با استفاده از گزارش‌ها و نقشه‌های زمین‌شناسی و لایه‌های منطقه، به هر کدام از آنها نرخ اختصاص داده شد و با اعمال درون‌یابی لایه‌محیط آبخوان به دست آمد (شکل شماره ۵).



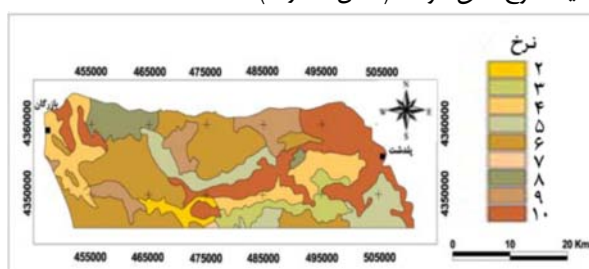
شکل شماره (۴): نقشه پهنۀ بندی تغذیه آب زیرزمینی



شکل شماره (۵): نقشه پهنۀ بندی محیط آبخوان

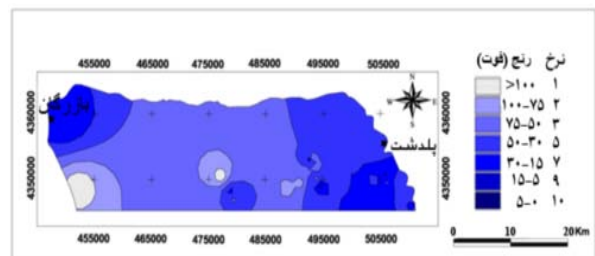
محیط خاک

محیط خاک میزان آب نفوذی را که به سطح آب زیرزمینی می‌رسد، تعیین می‌کند و بی‌شک تأثیر بسزایی بر چگونگی حرکت آلاینده‌ها دارد. بافت محیط خاک بر میزان تغذیه و توانایی آلاینده‌ها برای نفوذ به محیط وادز تأثیر می‌گذارد. برای تهیه این لایه، از نقشه خاک منطقه با مقیاس ۱:۲۵۰۰۰ استفاده شد. بدین ترتیب که پس از اسکن کردن، نقشه مورد نظر در نرم‌افزار اتوکد رقومی شد. با توجه به چندضلعی‌های ایجاد شده که هر کدام نشان دهنده تیپ خاک موجود در منطقه بوده‌اند و با توجه به گزارش‌ها در نقشه مورد نظر به هر کدام از آنها یک نرخ تعلق گرفت (شکل شماره ۶).



شکل شماره (۶): نقشه پهنۀ بندی محیط خاک

رنتری و برای تلفیق با لایه‌های دیگر، از روش کریجینگ برای تهیه نقشه عمق آب زیرزمینی استفاده شد (شکل شماره ۳).



شکل شماره (۳): نقشه پهنۀ بندی عمق آب زیرزمینی

تغذیه آب زیرزمینی

یکی از راههای اصلی انتقال آلاینده‌ها به آب زیرزمینی، تغذیه است. تغذیه بیشتر سرعت بالاتری را برای انتقال آلاینده‌ها به سطح آب زیرزمینی فراهم می‌آورد. بارش، منبع اولیه آب زیرزمینی است، به دلیل این‌که تعیین مقدار تغذیه نسبت به سایر مقدار مشخصه‌های دراستیک از دقت کمتری برخوردار است و دستیابی به آن نیز مشکل است، بنابراین محدوده‌های تغذیه گستردگتر ارائه شده‌اند. منبع اصلی تغذیه به بازالت‌های منطقه، بیشتر نفوذ مستقیم از بارندگی است. تغذیه از طریق بارش مستقیم در مناطق مختلف بازالتی جهان بین ۱۰ تا ۲۰ درصد کل بارندگی تخمین زده شده است (Singhal, & Gupta, 1999). آب زیرزمینی در منطقه مورد مطالعه از طریق درز و شکاف‌های موجود در بازالت‌ها و از آبرفت‌های بسیار نفوذپذیر موجود در زیر بازالت‌ها جریان می‌یابد. تغذیه به آبخوان از طریق درز و شکاف‌های موجود در بازالت‌ها و آهک‌ها صورت می‌گیرد. بنابراین مقدار تغذیه از بارندگی بسیار زیاد است. به منظور تهیه این لایه از داده‌های مربوط به بارندگی در منطقه مورد مطالعه استفاده شد.

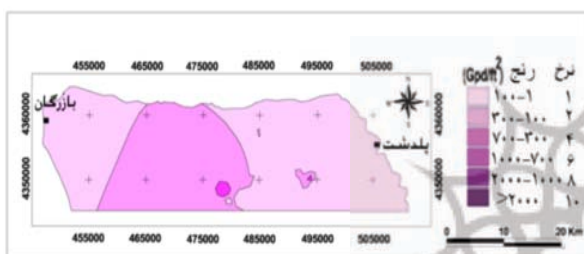
بدین صورت که نقشه توزیع بارندگی با اعمال درون‌یابی کریجینگ تهیه شده و در نهایت نقشه تغذیه آب زیرزمینی برای منطقه با اعمال ضریب مناسب به دست آمد (شکل شماره ۴).

محیط آبخوان

محیط آبخوان شامل فضاهای خالی و شکستگی‌هایی است که آب را در خود نگه داشته و عبور می‌دهند. بنابراین مواد تشکیل دهنده آبخوان بر جریان درون آن تأثیر می‌گذارد. این مسیر، جریان، حرکت آلاینده‌ها را از طریق این محیط تعیین می‌کند (Aller, et al., 1987). با توجه به جنس مواد تشکیل دهنده آبخوان (بخش

هدايت هيدروليكي

هدايت هيدروليكي توسط حفره‌ها، شکستگي‌ها و سطوح لايه‌بندي تعين می‌شود و ميزان آب نفوذ‌يافته را به سистем از طريق محيط آبخوان مشخص می‌سازد. برای به‌دست آوردن اين لاييه از اطلاعات موجود در منطقه (توانايی انتقال و ضخامت بخش اشبع) استفاده شد. بدین‌ترتیب که اين اطلاعات به محيط اکسل وارد و سپس به فرمت قابل قبول برای نرم‌افزار ArcView تبدیل شد. به منظور ايجاد اين لاييه به حالت رستری از روش كريجینگ استفاده شد و نقشه هدايت هيدروليكي به دست آمد (شکل شماره ۹).



شکل شماره (۹): نقشه پهنه‌بندی هدايت هيدروليكي

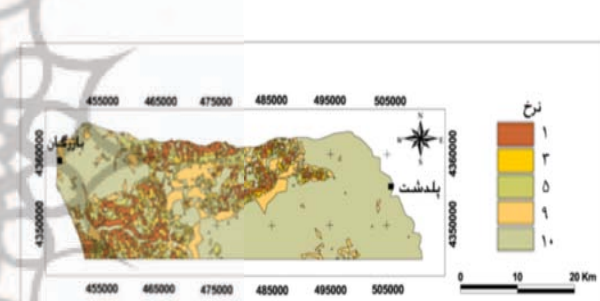
تركيب و تلفيق لاييه‌ها

در برای ترکيب لاييه‌های رستری از تابع همپوشانی^{۱۸} استفاده می‌شود. از آنجا که داده‌های مورد استفاده همگی به فرمت رستری تبدیل شده بودند، بتباراين تابع همپوشانی برای اين هدف استفاده شد. اين تابع به دو صورت رياضي^{۱۹} و وزني^{۲۰} عمل ترکيب داده‌ها را انجام می‌دهد، با توجه به اين که لاييه‌های مورد نظر در مدل دراستيک هر يك داراي وزن خاصی بودند، برای ترکيب و تلفيق داده‌ها از تابع همپوشانی وزني با به كارگيری برنامه جاني Model Builder برای تلفيق لاييه‌ها استفاده شد. برای اين کار تمام لاييه‌ها همراه با ضرائب آنها به صورت درصد برای مدل تعريف شده و سپس عمل تلفيق لاييه‌های مورد نظر صورت می‌پذيرد. نقشه نهائي آسیب‌پذيری آبخوان نسبت به آلدگي، با تقسيم‌بندی به سه محدوده آسیب‌پذيری کم، متوسط و زياد در شکل شماره (۱۰) نشان داده شده است. شاخص دراستيک برای كل منطقه بين ۷۱ تا ۱۷۵ برآورده شده است.

برای صحتسنجي نقشه نهائي آسیب‌پذيری از یون فلوئوريド (به عنوان آلائيند طبیعی در منطقه) استفاده شد (شکل شماره ۱۱). با انطباق غلظت فلوئوريド بر روی نقشه نهائي دراستيک مشخص شد که

توبوگرافی

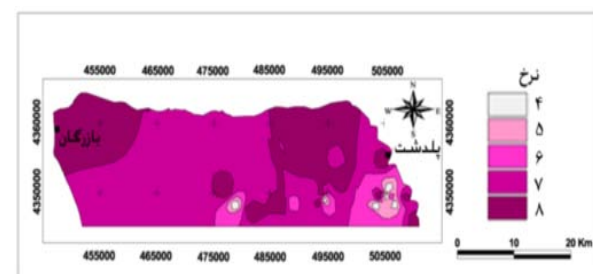
توبوگرافی برحسب شيب و تغييرات آن عامل کنترل کننده‌ای در نفوذ آلائيندها و تشکيل رواناب به شمار می‌رود. در شيب کم، فرصت نفوذ بالاتر و نيري آلدگي بيشتر برای نفوذ آلائيندها وجود دارد، در حالی که در شيب بيشتر از ۱۸ درجه، تشکيل رواناب بيشتر و نفوذ کمتر می‌شود، بنابراین آلائيندها کمتر به سیستم آب زیرزمیني راه می‌يانند. برای تهیه نقشه شيب از مدل ارتفاعی رقومی استفاده شد. بدین‌ترتیب که نقشه‌های توبوگرافی ۱:۲۵۰۰۰ مربوط به منطقه پس از اسکن کردن، در نرم‌افزار اتوکد رقومی شده و با فرمت مناسب به نرم‌افزار ArcView وارد شده و مدل ارتفاعی رقومی منطقه تهیه و نقشه شيب از مدل ارتفاعی رقومی استخراج شد (شکل شماره ۷).



شکل شماره (۷): نقشه شيب منطقه

محيط غير اشبع

بافت زون غيراشبع، زمان انتقال آلائيندها را از طريق اين محيط تعين می‌کند. برای تهیه اين نقشه روشی مشابه با مشخصه محيط آبخوان استفاده شد، با اين تفاوت که ضخامت و جنس لاييه‌های بالاي سطح ايستابی در لاغ چاهها استفاده شد (شکل شماره ۸).



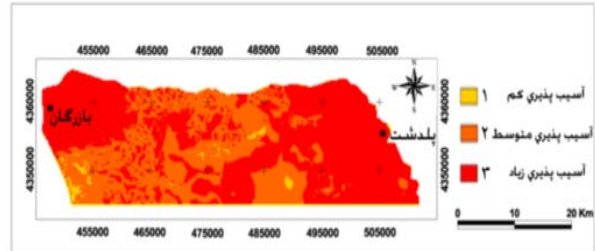
شکل شماره (۸): نقشه پهنه‌بندی محيط غير اشبع

نرم‌افزار ArcView-GIS استفاده شده است. با وزن دهنده و رتبه‌بندی و تلفیق هفت لایه دراستیک در محیط GIS، نقشه نهایی آسیب‌پذیری آبخوان نسبت به آلودگی، با تقسیم‌بندی به سه محدوده آسیب‌پذیری کم، متوسط و زیاد به دست آمد. شاخص دراستیک برای کل منطقه بین ۷۱ تا ۱۷۵ برآورد شده است. برای صحت‌سنجی نقشه نهایی آسیب‌پذیری از یون فلوئورید استفاده شد. با انطباق غلظت فلوئورید بر روی نقشه نهایی دراستیک مشخص شد که کلیه نقاطی که دارای فلوئورید بالا هستند در محدوده‌ای با نیروی آلودگی زیاد قرار گرفته‌اند که این می‌تواند دقت و صحت مدل را مورد تأیید قرار دهد. از نظر وسعت می‌توان گفت که حدود ۳ درصد از منطقه مورد مطالعه در محدوده آسیب‌پذیری کم، ۳۷ درصد متوسط و ۶۰ درصد در محدوده آسیب‌پذیری زیاد قرار می‌گیرد که قسمت‌های وسیعی از شرق، غرب و بخشی از مرکز را شامل می‌شود. با توجه به نقشه به دست آمده می‌توان گفت که به طور کلی نواحی بازالتی از نیروی بیشتری برای آلودگی نسبت به دیگر مناطق برخوردارند که احتمالاً در ارتباط با هدایت هیدرولیکی خوب آنها و نداشتن پوشش خاک سطحی مناسب است. با توجه به اهمیت منابع آب زیرزمینی در منطقه مورد مطالعه که برای مقاصد مختلف مورد استفاده قرار می‌گیرد، حفاظت این مناطق به منظور جلوگیری از آلودگی و مدیریت بهینه منابع آب ضروری است.

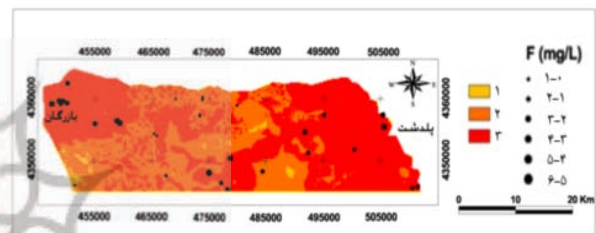
یادداشت‌ها

- 1- Drastic
- 2- Point Count System Models
- 3-Depth of groundwater
- 4-Recharge
- 5-Aquifer media
- 6-Soil media
- 7-Topography
- 8-Impact of the vadose zone media
- 9-Conductivity
- 10-Rate
- 11-Weight
- 12- Extension
- 13- Clip
- 14- Merge
- 15- Overlay
- 16- Digital Elevation Model (DEM)
- 17- Kriging
- 18- Overlay
- 19- Arithmetic
- 20- Weighted

کلیه نقاطی که دارای فلوئورید بالا هستند، در محدوده با نیروی آلودگی زیاد قرار گرفته‌اند که این می‌تواند دقت و صحت مدل را تأیید کند.



شکل شماره (۱۰): نقشه پهنه‌بندی آسیب‌پذیری منطقه



شکل شماره (۱۱): انطباق غلظت فلوئورید بر روی نقشه نهایی آسیب‌پذیری منطقه

نتیجه‌گیری

در این تحقیق زمین‌شناسی، منطقه مطالعاتی با استفاده از نقشه‌های موجود و مشاهدات صحرایی دقیق بررسی و با توجه به ویژگی‌های هیدرولوژی و هیدروژئولوژی منطقه، آسیب‌پذیری آبخوان در برابر عوامل آلاند پهنه‌بندی شده است. در بررسی نقشه‌های منطقه مشاهده شد که سازمان زمین‌شناسی ایران در نقشه زمین‌شناسی ۱:۲۵۰۰۰۰ منطقه جریان گدازه در مسیر ساری‌سو (مسیر اصلی گدازه‌های بازالتی) را فقط تا شمال ماکو ادامه داده است، حال آنکه طبق مشاهدات صحرایی، بروزدهای بازالتی بعد از این منطقه نیز در طول مسیر این رودخانه در مناطق زیادی قابل مشاهده است و احتمالاً بیشترین گدازه‌های بازالتی از طریق این مسیر به پایین دست منطقه جریان یافته است، در حالی که بازالت‌های این قسمت از مسیر رودخانه در بیشتر نقاط با رسوبات آبرفتی کم ضخامتی پوشیده شده است. بنابراین لازم است که جهت نشان دادن مسیر جریان گدازه‌ها، سنگ‌های بازالتی این قسمت نیز در نقشه زمین‌شناسی منطقه نشان داده شود. به منظور ارزیابی آسیب‌پذیری منطقه، از مدل دراستیک بر اساس GIS با به کارگیری

منابع مورد استفاده

اصغری مقدم، ا، جمیری، ر، محمدی، ع. ۱۳۸۴. مطالعه مشخصات هیدروژئولوژیکی بازالت‌های منطقهٔ ماکو جهت بهره‌برداری بهینه از آبهای زیرزمینی با استفاده از روش‌های ژئوفیزیکی و GIS، طرح تحقیقاتی. دانشگاه تبریز، گروه زمین‌شناسی، ۱۵۵ صفحه.

اصغری مقدم، ا، جمیری، ر، محمدی، ع. ۱۳۸۶. منشاء غلظت بالای فلوئورید در آبهای زیرزمینی گدازه‌های بازالتی دشت‌های بازگان- پلداشت و تأثیر نامطلوب آن بر سلامتی اهالی منطقه. مجلهٔ محیط‌شناسی دانشگاه تهران، دانشکدهٔ محیط‌زیست، سال سی و سوم، شمارهٔ ۴۱، ۲۵-۳۲.

اصغری مقدم، ا، فیجانی، الف. ۱۳۸۷. مطالعات هیدروژئولوژیک و هیدروشیمیابی آبخوان‌های بازالتی و کارستیک منطقهٔ ماکو در ارتباط با سازندگان زمین‌شناسی منطقه. مجلهٔ علوم زمین‌سازمان زمین‌شناسی ایران. ۱۳-۲، ۵۷.

اصغری مقدم، ا، فیجانی، ا و ندیری، ع. ۱۳۸۷. تأثیر بازالت‌های منطقهٔ ماکو در غلظت فلوئورید منابع آب زیرزمینی. طرح تحقیقاتی، دانشگاه تبریز، گروه زمین‌شناسی، ۱۰۷ صفحه.

فیجانی، ا. ۱۳۸۶. بررسی هیدروژئولوژی و هیدروژئوشیمی آبخوان‌های بازالتی آبرفتی دشت‌های بازگان و پلداشت. پایان نامهٔ کارشناسی ارشد آب‌شناسی، دانشکدهٔ علوم طبیعی، دانشگاه تبریز، ۱۴۱ صفحه.

مطیعی، ۵. ۱۳۸۲. آشنایی با ArcView-GIS. انتشارات دانشگاه صنعت آب و برق.

میرزایی، ل. ۱۳۸۶. ارزیابی آسیب‌پذیری آبهای زیرزمینی با استفاده از تکنیک‌های سنجش از دور و GIS، مطالعهٔ موردی دشت ورامین. پایان نامهٔ کارشناسی ارشد، دانشکدهٔ علوم، دانشگاه شهید چمران اهواز.

Al-Adamat,R.A.N., I.D.L.,Foster, S.M.J.,Babai . 2003. Groundwater vulnerability and risk mapping for the Basaltic aquifer of the Azraq basin of Jordan using GIS, remote sensing and DRASTIC. Applied Geography ±

Alavi Naini,M., M.H.,Bolurchi .1973. Explanatory text Maku Quadrangle Map 1:250000. Geological Survey of Iran.

Aller,L., et al. 1987. DRASTIC: A Standardized System for Evaluating Ground Water Pollution Potential Using Hydrogeologic Settings, EPA 600/2-87-035. Ada, Oklahoma: U.S. Environmental Protection Agency.

Antonakos,A.K., N.J.,Lambrakis .2007. Development and testing of three hybrid methods for the assessment of aquifer vulnerability to nitrates, based on the drastic model, an example from NE Korinthia, Greece. -RXIQDORI + \ QURQJ\ ±

Asghari Moghaddam, A., E.,Fijani .2008. Distribution of fluoride in groundwater of Maku area, northwest of Iran. Environment Geology, 56, 281-287.

Asghari Moghaddam, A., E.,Fijani .2009. Hydrogeologic framework of the Maku area basalts, north western Iran. Hydrogeology Journal, 17, 949-959.

Babiker,I.S., et al. 2005. A GIS-based DRASTIC model for assessing aquifer vulnerability in Kakamigahara, + HJ KW * IIХ3UHFVXH FHQWDO-DSDQ 6FIHQFHRI WH7RWDQ QMLRQP HQW ±

Evans,B.M., W.L.,Mayers .1990. A GIS-based approach to evaluating regional groundwater pollution SRWQWDOZ LK' 5 \$ 67,& -RXIQDORI 6RLODQG: DMU&RQHVDWLRQ ±

- LeGrand,H.E. 1964. System for evaluating the contamination potential of some waste sites. Journal of \$ P HIFDQ: DMU: RUV\$ WRFDWRQ ±
- Kim,Y.J., S.Y.,Hamm .1999. Assessment of the potential for ground water contamination using the DRASTIC/EGIS technique, Cheongju area, South Korea: Hydrogeol. J., 7 (2): 227-235.
- Merchant,J. 1994. GIS-based groundwater pollution hazard assessment: a critical review of the DRASTIC P RGH 3 KRWJ UP P HMF (QIQLHQJ DQG5 HP RW6HQVQI ±
- Panagopoulos,G., A.,Antonakos, N.,Lambrakis .2006. Optimization of DRASTIC model for groundwater vulnerability assessment, by the use of simple statistical methods and GIS. Hydrogeology Journal (published online).
- Rahman,A. 2007. A GIS based model for assessing groundwater vulnerability in shallow aquifer in Algarh, India. Applied Geogr., 28 (1): 32-53.
- Samey,A.A., C.,Gang .2008. A GIS based DRASTIC model for the assessment of groundwater vulnerability to pollution in west Mitidja: Blida city, Algeria. Research Journal of Applied Sciences 3 (7): 500-507.
- Singhal,B.B.S., R.P.,Gupta .1999. Applied Hydrogeology of Fractured Rocks. Kluwer Academic Publisher. 400 p.
- Soper,R.C. 2006. Groundwater vulnerability to agrochemicals: A GIS-based DRASTIC model analysis of Carroll, Chariton, and Saline Counties, Missouri, USA. Master science thesis, University of Missouri-Columbia.
- Thapinta,A., P.,Hudak .2003. Use of geographic information systems for assessing groundwater pollution SRWQDOE SHMFLCHMILQ&HQWDO/KDLODG (QYLUQP HQWQ QMLQDWRQDO ±
- Vrba,J., A.,Zoporozec .1994. Guidebook on mapping groundwater vulnerability. International Contributions to Hydrogeology. Verlag Heinz Heise GmbH and Co, KG.
- Worrall,F., T.,Besien .2004. The vulnerability of groundwater to pesticide contamination estimated directly JURP REVHYDWRQVRI SUH-QFHRUDEV-QFHILQZHOU -RXLQDORI + \ GURQJ\ ±
- Yilmaz,Y., Y.,Guner, F.Saroglu .1998. Geology of the quaternary volcanic centers of the east Anatolia. Journal of Volcanology and Geothermal Research 85, 173-210.
- Zabet,T.A. 2002. Evaluation of aquifer vulnerability to contaminant potential using DRASTIC method. Environ. Geol., 43(1-2): 203-208.